

İHA fotogrametrisi konum doğruluğuna kamera odak uzaklıği etkisinin incelenmesi

Ahmet Erdem Can Hastaoglu¹, Kemal Özgür Hastaoglu^{*2}, Fatih Poyraz², Yavuz Gülb³

¹Geomine ARGE Yazılım Müh. Ltd. Şti., Cumhuriyet Teknokent, Sivas, Türkiye

²Sivas Cumhuriyet Üniversitesi, Mühendislik Fakültesi, Harita Mühendisliği Bölümü, Sivas, Türkiye

³Sivas Cumhuriyet Üniversitesi, Mühendislik Fakültesi, Maden Mühendisliği Bölümü, Sivas, Türkiye

Anahtar Kelimeler

İHA
Fotogrametri
Doğruluk
Odak Uzaklığı

ÖZ

Son yıllarda İHA fotogrametri yöntemi Harita Mühendisliği alanında oldukça yaygın olarak kullanılmaya başlanmıştır. İHA fotogrametri ürünlerine ait konum doğruluklarını etkileyen birçok parametre bulunmaktadır. Bunların başında ise Yer Örnekleme Aralığı (YÖA) gelmektedir. YÖA artık konum doğruluğu da düşmektedir. YÖA ise uçuş yüksekliği ve odak uzaklısına bağlı olarak değişmektedir. Gerçekleştirilen bu çalışmada odak uzaklığı değeri değiştirilmesiyle oluşan YÖA artışı konum doğruluğuna etkisi incelenmiştir. Bu amaçla aynı çalışma sahasında uçuş yüksekliği sabit tutularak odak uzaklığı değiştirilmiş ve aynı hava koşullarında uçuşlar gerçekleştirilmüştür. Yaklaşık 15 ha'lık bir alanda 9 adet Yer Kontrol Noktası (YKN) ve 7 adet de Denetleme Noktası (DN) tesis edilmiştir. Dört farklı uçuşa odak uzaklısı sırası ile 16 mm, 20mm, 24 mm ve 35 mm olarak ayarlanmıştır. Fotogrametrik değerlendirmeler sonucunda her bir odak uzaklığı için Kontrol Noktalarına ait Karesel Ortalama Hata (KOH) değerleri elde edilmiştir. Elde edilen sonuçlar doğrultusunda 35 mm yerine 16 mm, 20 mm ve 24 mm odak uzaklığı kullanıldığında sırasıyla YÖA %106, %66 ve %43 artmasına rağmen konum doğruluğunda 20 mm ve 24 mm için ±%10'luk değişim gözlenirken 16 mm için %122'lik bir değişim gözlenmiştir. Sonuç olarak Odak uzaklı 20mm'den daha küçük olduğunda konum doğruluğunda dramatik bir düşüş gözlenmiştir.

Investigation of camera focal length effect on UAV photogrammetry position accuracy

Keywords

UAV
Photogrammetry
Accuracy
Focal Length

ABSTRACT

In recent years, the UAV photogrammetry method has been used widely in the field of Geomatics Engineering. There are many parameters that affect the location accuracy of UAV photogrammetry products. The most important of these is ground sample distance (GSD). The higher the GSD, the lower the position accuracy. GSD changes depending on the flight altitude, camera pixel size and focal length. In this study, the effect of the increase in GSD caused by changing the focal length value on the position accuracy was investigated. For this purpose, the focal length was changed by keeping the flight height and camera pixel size constant in the same study area, and flights were carried out under the same weather conditions. 9 Ground Control Points (GCP) and 7 Control Points (CP) have been established in an area of approximately 15 ha. In four different flights, the focal length is set to 16mm, 20mm, 24mm and 35mm, respectively. As a result of the photogrammetric evaluations, the RMS values of the Control Points for each focal length were obtained. Using 16mm, 20mm, and 24mm focal lengths instead of 35mm increased GSD 106%, 66% and 43% respectively. On the other hand, while there was a ± 10% change in position accuracy for 20 mm and 24 mm, a 122% change was observed for 16 mm. As a result, when the focal length is smaller than 20mm, a dramatic decrease in position accuracy has been observed.

*Sorumlu Yazar

(erdemca35@gmail.com) ORCID ID 0000 - 0002 - 4483 - 933X
*(khastaoglu@cumhuriyet.edu.tr) ORCID ID 0000 - 0002 - 5077 - 5889
(fpoyraz@cumhuriyet.edu.tr) ORCID ID 0000 - 0001 - 9471 - 7261
(ygul@cumhuriyet.edu.tr) ORCID ID 0000 - 0002 - 2969 - 577X

Kaynak Göster:

Hastaoglu A E C, Hastaoglu K O, Poyraz F & Gul Y (2021). İHA fotogrametrisi konum doğruluğuna kamera odak uzaklıği etkisinin incelenmesi. *Türkiye Fotogrametri Dergisi*, 3(1), 22-28

1. GİRİŞ

Hava fotogrametrisi, belirli bir yükseklikten hava araçları yardımıyla elde edilen fotoğrafları kullanan fotogrametri teknigi olup ihtiyaca bağlı haritalamada yaygın bir yöntem olarak kullanılmaktadır (Toprak, 2014).

Gelişen teknoloji ile birlikte İHA'lar, başta askeri uygulamalar olmak üzere, arkeolojik alan incelemesi, meteorolojik ve jeolojik araştırmalar, doğal afet yönetimi, ulusal veya uluslararası sınır devriyesi, orman yangını tespiti, yeryüzünün haritalanması vb. gibi alanlarda etkin ve verimli bir şekilde kullanılmaya başlanmıştır (Okuyama ve ark., 2005; Ollero ve Merino, 2006; Xiang ve Tian, 2011; Mozas-Calvache ve ark., 2012; Niethammer ve ark., 2012; Gül, 2019; Hastaoglu ve ark. 2019).

İHA fotogrametrisinde konum doğruluğunu etkileyen birçok faktör bulunmaktadır. Bunlar şu şekilde özetlenebilir; uçuş yüksekliği, kamera ayarları, meteorolojik koşullar, uçuş planı, yer kontrol noktalarının dizaynı. Özellikle YKN dizaynı ve doğrudan georeferans yapan sistemlerin doğruluğu nasıl etkilediğinin araştırılması ile ilgili birçok araştırma gerçekleştirilmiştir. (Ruzgiené ve ark., 2015; Agüera-Vega ve ark., 2017; Kapiciglu ve ark., 2018; Rabah ve ark., 2018; Sanz-Ablanedo ve ark., 2018; Forlani ve ark., 2018; Ferrer-González ve ark., 2020; Oniga ve ark., 2020). Bunun yanı sıra yine meteorolojik koşulların İHA fotogrametri koşullarını nasıl etkilediği ile ilgili çalışmalar da gerçekleştirilmiştir (LaFay, 2015; Corporation, 2018; Sarı, 2017).

İHA fotogrametri konum doğruluğu ile YÖA arasında doğrudan bir ilişki bulunmaktadır. YÖA ile konum doğruluğu arasındaki ilişki birçok araştırmacı tarafından incelenmiştir (Domingo ve ark., 2019; Marre ve ark., 2019; Stöcker ve ark., 2019). YÖA artışı İHA fotogrametri konum doğruluğunu direkt etkilemektedir. YÖA ise uçuş yüksekliği ve odak uzaklığuna bağlı olarak değişmektedir.

Bu çalışmada YÖA'ni değiştiren uçuş yüksekliği sabit tutularak odak uzaklığı değerleri değiştirilmiş ve farklı YÖA sahip uçuşlar gerçekleştirilmiştir. Farklı odak uzaklığı değerlerine bağlı olarak değişen YÖA değerlerinin İHA fotogrametri konum doğruluğunu nasıl etkilediği incelenmiştir. Bu incelemeyi gerçekleştirebilmek için İHA uçuşları aynı gün ve saatte, aynı meteorolojik koşullarda, aynı İHA ve kamera kullanılarak gerçekleştirilmiştir.

Çalışma esnasında kullanılan objektifin odak uzaklığı değeri sırasıyla 16 mm, 20mm, 24 mm ve 35 mm olarak ayarlanmış ve uçuşlar gerçekleştirilmiştir. Uçuşlar neticesinde elde edilen fotoğraflar fotogrametrik değerlendirmeye tabi tutulmuştur.

Fotogrametrik değerlendirme aşamasında çalışma sırasında daha önceki tesis edilen DN'lere ilişkin KOH değerleri hesaplanmıştır ve bu KOH değerleri yorumlanarak odak uzaklığı ile İHA fotogrametri konum doğruluğu arasındaki ilişki ayrıntılı olarak incelenmiştir.

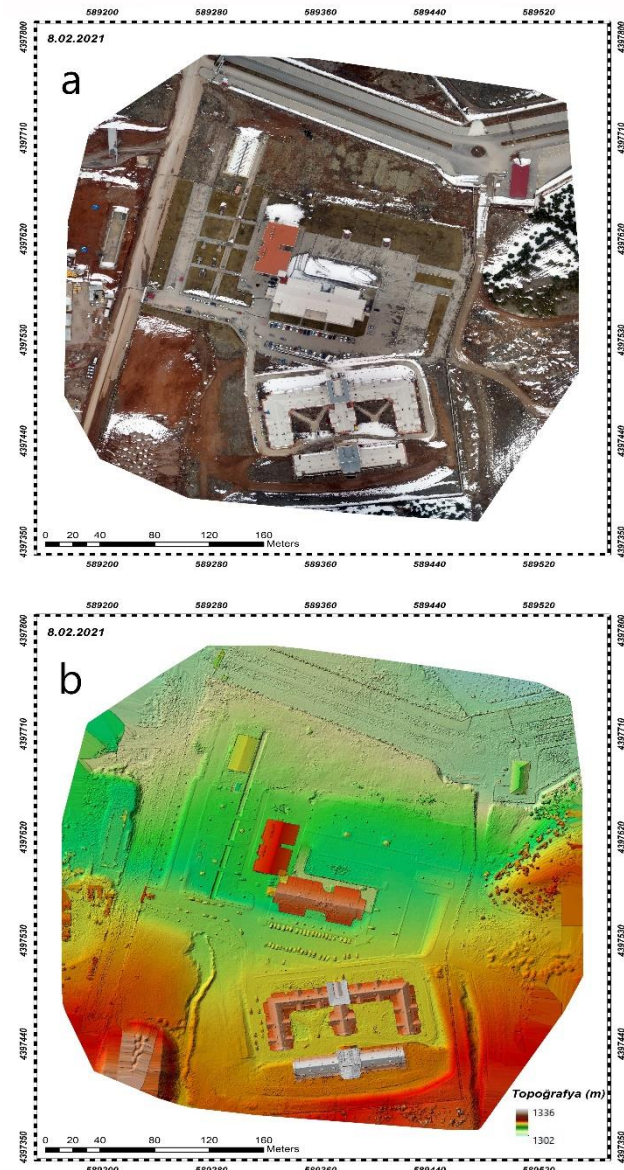
2. YÖNTEM

İHA fotogrametrisinde kamera odak uzaklığının konum doğruluğuna etkisini incelemek için aynı çalışma

sahasında, aynı YKN ve DN'ler kullanılarak aynı uçuş yüksekliğinde, aynı meteorolojik koşullarda aynı kamera kullanılarak uçuşlar gerçekleştirilmiştir. Bu uçuşlarda sadece kamera odak uzaklığı değiştirilmiştir. Haliyle kamera odak uzaklığuna bağlı olarak uçuşlara ait YÖA değerleri de değişmiştir. Gerçekleştirilen uçuşlar neticesinde her bir uçuş için DN noktalarına ait KOH değerleri elde edilmiştir. Elde edilen sonuçlar YÖA ile karşılaştırılarak analizler yapılmıştır.

2.1. Çalışma Sahası

Çalışma sahası olarak Sivas Cumhuriyet Teknokent alanı seçilmiştir. Şekil 1' de çalışma sahasına ait ortofoto görüntü ve sayısal yükseklik modeli verilmektedir. Çalışma sahası yaklaşık 15hektarlık bir alandır.



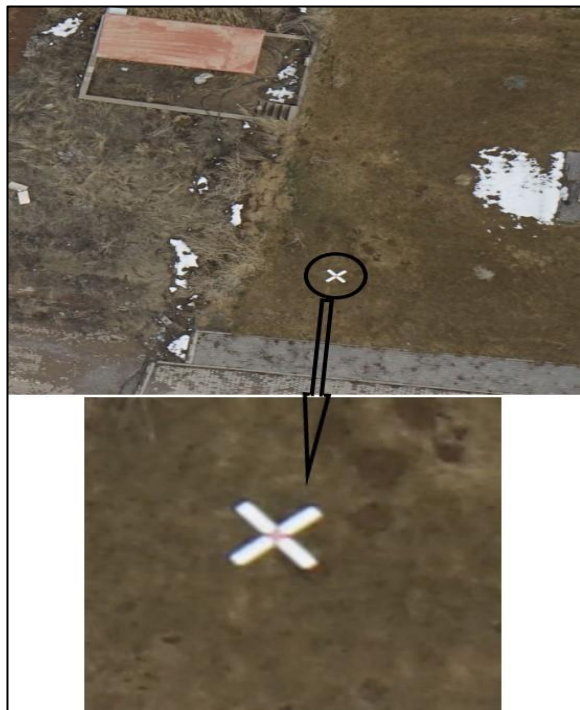
Şekil 1. a) Çalışma sahası ortofoto görüntü b) Çalışma sahası SYM

2.2. YKN ve DN Tesis Ölçü

Çalışma sahasında 9 adet YKN ve 7 adet DN noktası tesis edilmiştir. Bu YKN ve DN noktalarında RTK GNSS (Real Time Kinematic Global Navigation Satellite Systems) ölçü yöntemine göre 2 farklı zamanda 10 ar

epok ölçü gerçekleştirmiştir. Ölçülerde Geomine firmasına ait SATLAB SL600 marka RTK konum doğruluğu yatayda 8mm + 1ppm, düşeyde 15mm + 1ppm olan GNSS alıcı setleri kullanılmıştır.

Şekil 2 ve Şekil 3' de çalışma sahasına tesis edilen YKN ve DN noktaların bazlarına ilişkin görüntüler verilmektedir.



Şekil 2. YKN noktası örnek tesis



Şekil 3. DN noktası örnek tesis

2.3. İHA Uçuşları ve Fotogrametrik Değerlendirme

Aynı meterolojik ve ışık koşullarını yakalamak amacıyla çalışma sahasında aynı gün ve saat içerisinde 4

farklı uçuş gerçekleştirilmiştir. Bu uçuşlarda Geomine firmasına ait DJI Matrice 600 pro marka hexacopter, DJI Ronin MX Gimbal, Sony A7r (36,4 MP) kamera ve Sony Zeiss Vario-Tessar FE 16-35 mm f/4 lensen oluşan ekipman kullanılmıştır. (Şekil 4)



Şekil 4. Çalışmada kullanılan İHA ve ekipmanları

Sırası ile uçuşlarda aynı zoom lensin, 16, 20, 24 ve 35 mm odak uzaklığuna ayarlanmış halleri kullanılmıştır. Diğer tüm uçuş parametreleri uçuşlarda sabit tutulmuştur. Tablo 1' de uçuş konfigürasyonlarına ait bilgiler verilmektedir.

Tablo 1. Uçuş Bilgileri

Konfigürasyonu	I	II	III	IV
Uçuş Yüksekliği (m)	180	180	180	180
Kamera Özellikleri	Sony A7R	Sony A7R	Sony A7R	Sony A7R
Görüntü Biçimi	7360 × 4144	7360 × 4144	7360 × 4144	7360 × 4144
Odak Uzaklığı (mm)	16	20	24	35
YÖA (cm)	5.00	4.05	3.47	2.45
Bindirme Oranı(%)	80/60	80/60	80/60	80/60
Görüntü Sayısı	12	14	27	52
Çalışma Alanı (ha)	15	15	15	15

Tablo 1'den de açıkça görüleceği üzere odak uzaklığı değiştirildiğinde YÖA değerleri de 5.00 ile 2.45 cm arasında değişmektedir. Yine odak uzaklığuna bağlı olarak görüntü sayıları da değişmektedir.

İHA ile çekilen görüntüler lisansı Geomine firmasına ait PIX4D yazılımı kullanılarak değerlendirilmiştir. Değerlendirme aşamasında RTK GNSS yöntemi ile koordinat değerleri elde edilen 7 adet nokta DN noktası olarak işaretlenmiş ve değerlendirme sonucunda bu noktalara ait KOH değerleri elde edilmiştir.

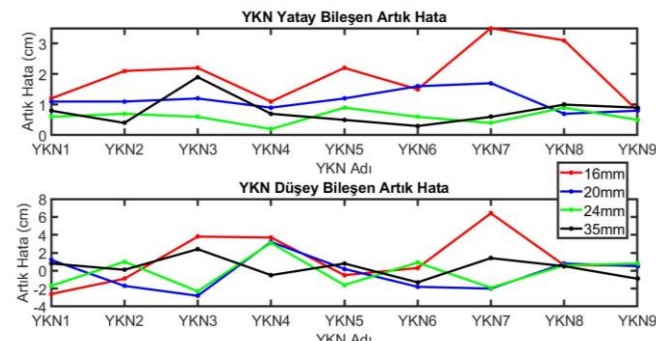
3. BULGULAR

Her bir uçuşa ait fotogrametrik değerlendirme neticesinde YKN noktaları için elde edilen 3 boyutlu KOH değerleri Tablo 2 ve Şekil 7' de verilmiştir. Tablo 2 ve

Şekil 7 incelendiğinde Elipsoidal Yükseklik bileşenine ait KOH değerlerinin yatay bileşene göre daha yüksek olduğu görülmektedir. 20 mm, 24 mm, 35 mm için KOH değerleri yakın değerler iken 16 mm için bu değerlerin yaklaşık 2 kat arttığı gözlenmektedir. 3B konum için KOH değerleri incelendiğinde 16 mm dışında sonuçların 1.67-2.20 cm arasında değişirken, 16 mm odak uzaklığı içinse bu değerin arttığı ve 3.53 cm olduğu gözlenmektedir. Bu artış her üç boyutta da oransal olarak gözlenmektedir. Sonuç olarak YKN noktaları KOH değerleri 16 mm odak uzaklıği için yaklaşık 1.5 kat artmakta fakat diğer odak uzaklıklarları için yaklaşık eşit değerler çıkmaktadır.

Tablo 2. YKN KOH değerleri

Odak Uz. (mm)	YKN KOH (cm)			
	Yukarı	Sağ	Elip. Yük.	Konum
16	1,56	1,48	2,80	3,53
20	0,68	0,98	1,86	2,20
24	0,35	0,53	1,72	1,83
35	0,39	0,84	1,39	1,67



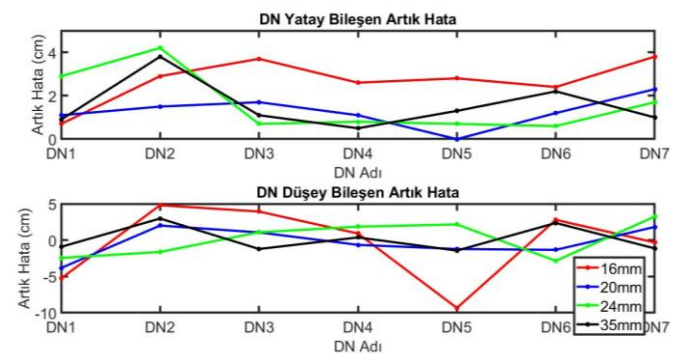
Şekil 5. YKN artık hata değerleri

Şekil 5' de ise YKN' lere ilişkin artık hatalar sunulmaktadır. Şekil 5 incelendiğinde artık hata değerlerinin 16mm için diğer odak uzaklıklarına göre gerek değişim aralığı gereksiz değerlerin daha yüksek olduğu gözlenmektedir.

Tablo 3'de ise DN noktaları için elde edilen KOH değerleri sunulmaktadır. DN noktalarında da YKN' lere benzer şekilde sonuçlar gözlenmektedir. 20 mm, 24 mm ve 35 mm için KOH değerlerinde benzerlik gözlenirken, 16 mm için bu değerlerde net bir artış gözlenmektedir. Bu artış miktarı kendisini en net Yükseklik bileşeninde göstermektedir. Sonuç olarak 16 mm odak uzaklığı dışında 3B konum KOH değeri 2.40-2.74 cm arasında değişirken 16 mm için bu değer 5.59 cm' ye çıkmaktadır.

Tablo 3. DN KOH değerleri

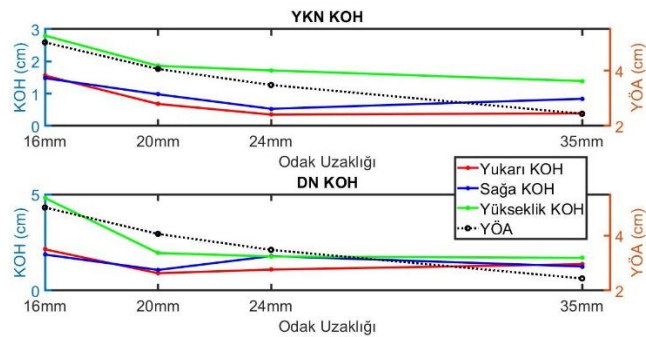
Odak Uz. (mm)	DN KOH (cm)			
	Yukarı	Sağ	Elip. Yük.	Konum
16	2,14	1,87	4,81	5,59
20	0,90	1,07	1,95	2,40
24	1,09	1,79	1,77	2,74
35	1,37	1,25	1,70	2,52



Şekil 6. DN artık hata değerleri

Şekil 6' da DN' lere ilişkin artık hatalar sunulmaktadır. Şekil 6 incelendiğinde artık hata değerlerinin YKN' lerde olduğu gibi 16mm için diğer odak uzaklıklarına göre gerek değişim aralığı gereksiz değerlerin daha yüksek olduğu gözlenmektedir.

Yukarıda Tablo 2 ve Tablo3' de sunulan değerler Şekil 7' de özet olarak sunulmaktadır. Şekil 7 incelendiğinde özellikle yükseklik bileşeni için 16 mm odak uzaklığını kullanıldığında KOH değerindeki artış net bir şekilde gözlenmektedir.



Şekil 7. YKN ve DN KOH değerleri

Odak uzaklısına bağlı olarak KOH değerlerindeki değişimin daha net anlaşılmaması amacıyla 35 mm odak uzaklığı YÖA ve KOH değerleri referans alınarak diğer odak uzaklıklar için değişim oranları hesaplanmıştır. 35 mm odak uzaklığında YÖA en küçük değerde sahip olması ve radyal distorsyon değerinin en az olmasından kaynaklı KOH değerlerinin minimum olması beklenmektedir. Bu yüzden referans verisi olarak 35 mm odak uzaklığı verileri seçilmiştir. Tablo 4' de 35mm değerlerine oranla diğer odak uzaklıklar için YÖA, DN ve YKN KOH değerlerindeki artış oranları sunulmaktadır. Tablo 3' de 24 mm için 35 mm odak uzaklığuna göre YÖA %43 artarken (2.45 cm' den 3.47 cm' ye çıkmış) DN ve YKN konum KOH değerleri sadece %9 artmıştır. Yine aynı şekilde 20 mm için 35 mm odak uzaklığuna göre YÖA %66 artarken (2.45 cm' den 4.05 cm' ye çıkmış) DN ve YKN konum KOH değerleri %25 bir değişim gözlenmiştir. Fakat 16 mm için 35 mm odak uzaklığuna göre YÖA %106 artarken (2.45 cm' den 5.00 cm' ye çıkmış) DN ve YKN konum KOH değerleri de sırası ile %122 ve %111 artmıştır. Buradan da açıkça anlaşılacağı üzere 20 ve 24 mm odak uzaklıklarını kullanıldığında KOH değerlerinde 35 mm değerlerine göre küçük değişimler gözlenirken odak uzaklığı 16 mm olduğunda KOH değerlerinde %100' ün üzerinde bir değişim gözlenmektedir.

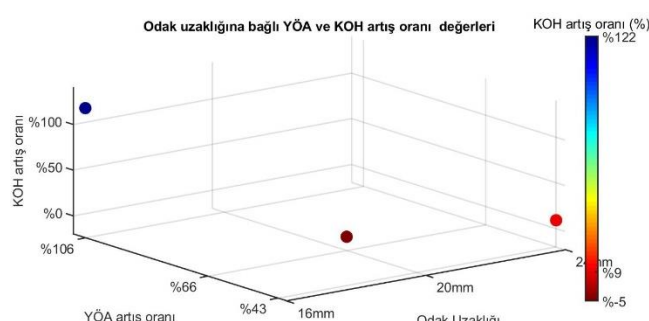
Tablo 4. YÖA ve DN, YKN konum KOH değişim oranları

Odak Uz. (mm)	Değişim Oranı (%)		
	YÖA	DN KOH	YKN KOH
16	106	122	111
20	66	-5	25
24	43	9	9

Tablo 5' de ise 35 mm odak uzaklığı referans alındığında 16 mm, 20 mm ve 24 mm odak uzaklığı için DN noktaları Yukarı, Sağa, Elipsoidal Yükseklik ve Konum bileşenleri için KOH değerlerindeki değişim oranları verilmektedir. Buradan da anlaşılabileceği üzere 16mm odak uzaklığında yatayda %50 civarında düşeyde ise %183 değişim gözlenmektedir. Fakat diğer odak uzaklıklarında genel olarak anlamlı değişimler gözlenmemektedir. Sonuçta konum için KOH değeri 16mm için %122 değişimde 20mm ve 24 mm için değişim $\pm 10'$ u geçmemektedir.

Tablo 5. DN KOH değişim oranları

Odak Uz. (mm)	DN KOH Değişim Oranı (%)			
	Yukarı	Sağ	Elip. Yük.	Konum
16	56	50	183	122
20	-35	-14	14	-5
24	-21	44	4	9

**Şekil 8.** Odak Uzaklığına bağlı YÖA ve KOH artış oranı

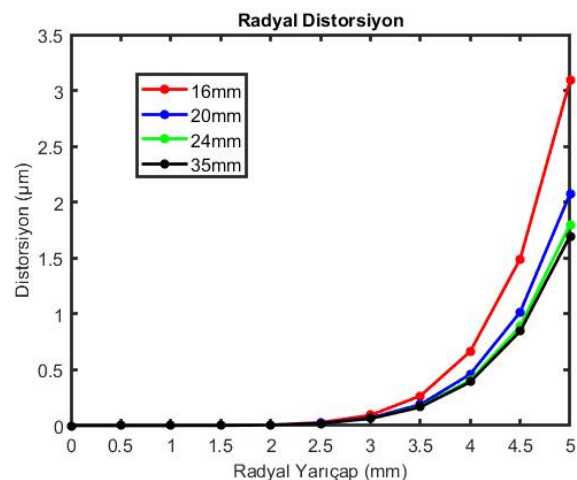
Şekil 8' de YÖA ve odak uzaklığının oransal değişimine karşılık DN konum KOH değerlerindeki oransal değişim gösterilmektedir. Buradan da anlaşılabileceği üzere DN noktaları için 35 mm odak uzaklığı YÖA ve konum KOH değerleri referans alındığında 20 mm ve 24 mm YÖA değerleri %43 ve %66 artarken konum KOH değerleri $\pm 10'$ civarında değişmesine karşın 16 mm için YÖA %106 artarken konum KOH değeri %122 artmaktadır. Özette 16 mm odak uzaklığı kullanıldığında KOH değerleri özellikle Yükseklik bileşeninde dramatik olarak artmaktadır.

Özetle yapılan analizler neticesinde odak uzaklığını 35 mm için 2.45 cm elde edilirken sırası ile 24 mm, 20 mm, 16 mm odak uzaklığı için YÖA'ları 3.47, 4.05 ve 5.00 cm olarak elde edilmiştir. Odak uzaklığına bağlı olarak sistematik artış gösteren YÖA değerlerinin konum doğruluğunu aynı sistematikte etkileyip etkilemediğini görmek için sahaya tesis edilen 7 adet DN'nin Yukarı, Saşa, Yükseklik bileşenlerine ait KOH değerleri incelenmiştir. Yapılan inceleme neticesinde YÖA daki

sistematiğin artışı konum KOH değerlerinde gerçekleşmediği gözlenmiştir. Özellikle 20mm ve 24 mm için konum KOH değerlerindeki artış miktarı $\pm 10'$ civarında değişimde bu değişim 16 mm odak uzaklığı için %122 olarak belirlenmiştir. 16 mm odak uzaklığı KOH değerlerindeki artış oranı yatay bileşen için %50 civarında iken düşeyde %183 oranında gerçekleşmiştir

Odak uzaklığının azalması ile KOH değerinin artması analitik fotogrametri açısından beklenen bir durumdur. Odak uzaklığı arttıkça, lens yüzeyinde kenar bölgeler değil de merkeze yakın bölgeler ışık geçiş için daha çok kullanılmaktadır. En büyük sistematiğin hata olan radyal distorsyon, lens merkezinden kenarlara gittikçe artar. Dolayısı ile, kısa odak uzunluğunda lensin kenar bölgeleri daha çok kullanılır, daha büyük sistematiğin hata resim düzlemine yansır.

Odak uzaklığına bağlı olarak değişen KOH değerlerinin kamera kalibrasyon parametreleri ile ilişkisini araştırmak amacıyla her bir odak uzaklığuna ait radyal distorsyon grafikleri çizdirilmiştir. Şekil 9' da sunulan grafik incelemesiinde radyal distorsyon değerlerinin 35mm'den 16 mm odak uzaklığuna artarak devam eden gaussien bir eğri yapısında olduğu görülmektedir. Radyal distorsyon değeri lens merkezinden kenarlara gittikçe gaussien eğri şeklinde artmaktadır. Kısa odak uzaklıkları kullanıldığında lensin kenar bölgelerini daha çok kullanmasından kaynaklı daha büyük sistematiğin hatalar resim düzlemine yansımaktadır.

**Şekil 9.** Radyal distorsyon grafiği

4. SONUÇLAR

Bilindiği üzere İHA fotogrametrisinde konum doğruluğunu etkileyen en önemli bileşenlerden birisi kullanılan kamera özellikleridir. Bu kameraların çözünürlüğü, lens diyafram açılığı ve objektif odak uzaklığı bunlardan en önemlidir. Özellikle kamera çözünürlüğü doğrudan görüntü YÖA ve konum doğruluğunu etkilemektedir. Diyafram açılığı ise objektifin içinden geçen ışığın miktarını ayarlayan kontrol mekanizmasıdır ve doğrudan fotoğrafın alan derinliğini etkilemektedir. Alan derinliği ise fotoğraf üzerinde en net nokta ile arka plandaki en net nokta arasındaki uzaklıktır. Objektif odak uzaklığı da hem YÖA hem de alan derinliğini etkileyen en önemli parametrelerden birisidir.

Odak uzaklığının artırılması ile objektiflerin baktıkları alanda görüntüyü görme genişliği azalmaktadır. Dolayısı ile, kısa odak uzunluğunda lenslerin kullanımı ile görüntünün görme genişliği artacağından kenar bölgelerdeki sistematik olarak artan radyal distorsiyon etkisi de bu görüntülerde artacaktır. Özette kısa odak uzunlukları için radyal distorsiyon etkisi uzun odak uzaklığa göre daha fazladır.

Bu çalışma da aynı meteorolojik koşullarda aynı yükseklikten aynı hız ve aynı İHA ile aynı kamera kullanılarak farklı uçuşlar gerçekleştirilmiştir. Bu uçuşlarda sadece kamera objektif odak uzaklığı değiştirilmiştir. Bunun amacı objektif odak uzaklığının konum doğruluğuna etkisinin araştırılmasıdır. Çalışmada gerçekleştirilen uçuşlarda odak uzaklısına bağlı olarak YÖA 2.5 ila 5 cm arasında değişmektedir. Odak uzaklısına bağlı değişen bu YÖA değerlerinin konum doğruluğunu nasıl etkilediği gerçekleştirilen uçuş sonuçlarına göre yorumlanmıştır.

Gerçekleştirilen çalışma sonucunda 35 mm odak uzaklısına sahip objektif kullanmak yerine daha geniş görüntü alanına sahip 20 mm ve 24 mm odak uzaklısına sahip objektiflerin kullanımı 180 m yükseklikteki bir uçuşa konum KOH değerini YÖA artışıyla doğru orantılı olarak etkilememektedir. Bunun yanı sıra YÖA %43 ve %66 artarken KOH değerlerinde anlamlı bir artış gözlenmemektedir. Fakat 16 mm odak uzaklısına sahip objektif kullanıldığındaysa YÖA artış %106 iken konum KOH artışı da %122 olarak belirlenmiştir. Yani 16 mm odak uzaklılığında YÖA artış etkisi doğru orantılı olarak konum doğruluğunu etkilemiştir. Bu etkinin en önemli sebebi 16 mm odak uzaklığındaki fotoğraflarda en büyük radyal distorsiyon değerine sahip olmasıdır.

Özellikle odak uzaklısına bağlı olan derinliği değiştirmektedir. Alan derinliği, kullanılan objektifin odak uzunluğu ile ters orantılıdır. Yani odak uzunluğu yüksek objektiflerde netlediğimiz alanın arkasında ve önünde bulunan nesnelerin netliği azalır. Özette 35mm odak uzaklısına sahip objektif her ne kadar YÖA en iyi sonucu verse de alan derinliği açısından dezavantajlıdır. Yani YÖA artmasına karşın netlediğimiz alanın arkasında ve önünde bulunan nesnelerin netliği azalmaktadır. Bu nedenle odak uzaklığını düşürdüğünde YÖA artmasına rağmen alan derinliği ve netlikte artmaktadır. Özellikle 20mm ve 24 mm odak uzaklısına sahip objektiflerde YÖA artışından kaynaklanan dezavantajın alan derinliğindeki artış ile telafi edile bilindiği düşünülmektedir. Bunun yanı sıra odak uzaklığının azaltılmasıyla alan derinliğinin artmasının yanı sıra radyal distorsiyon değeri de artmaktadır. Özellikle 16mm odak uzaklığı için radyal distorsiyon değerindeki dramatik artış etkisini KOH değerlerinde göstermektedir.

Sonuç olarak bu çalışmada 180 m yükseklikten gerçekleştirilen uçuşlar ile objektif odak uzaklısına bağlı olarak KOH değerlerinin değişimini incelenmiştir. Ve bu çalışma neticesinde odak uzaklığının YÖA' daki artış, alan derinliğindeki değişim ve radyal distorsiyon değişimini neticesinde KOH hatasındaki değişim ayrıntılı olarak incelenmiştir. 16 mm' den büyük odak uzaklığı için kısmen benzer KOH değerleri elde edilirken 16 mm için KOH değerinde dramatik bir artış gözlenmiştir. Radyal distorsiyon değerindeki artışa bağlı olarak böyle bir sonuç elde edildiği düşünülmektedir. Tabii ki böyle bir

hipotezin doğrulanması için çok daha geniş çaplı bir çalışmaya ihtiyaç duyulmaktadır. Fakat gerçekleştirilen bu çalışma ileride gerçekleştirilecek birçok çalışmaya ışık tutma niteliğindedir. Radyal distorsiyon, alan derinliği ve YÖA' na bağlı olarak KOH değerlerindeki değişim sistematik olup olmadığını daha detaylı araştırılması için farklı uçuş yükseklikleri, farklı meteorolojik koşullar, farklı kameralar ve en önemlisi farklı odak uzaklısına sahip objektifler kullanılarak gerçekleştirilecek birçok uçuştan elde edilen veriler ayrıntılı olarak incelenmelidir.

BİLGİLENDİRME/TEŞEKKÜR

Geomine ARGE Mühendislik Yazılım Danışmanlık Ltd. Şti. ve çalışanlarına çalışmaya sundukları yazılım ve donanım desteğinden dolayı teşekkür ederiz.

Bu çalışma 26-29 Mayıs 2021 tarihleri arasında gerçekleştirilen 18. Türkiye Harita Bilimsel ve Teknik Kurultayında kısa video olarak sunulan "İHA Fotogrammetri Konum Doğruluğuna Kamera Odak Uzaklılığı Etkisinin İncelenmesi" başlıklı çalışmanın revize edilmiş ve genişletilmiş halidir.

ARAŞTIRMACILARIN KATKI ORANI

Yazarlar bu araştırma makalesine eşit katkı sunmuşlardır.

ÇATIŞMA BEYANI

Yazarlar arasında herhangi bir çıkar çatışması bulunmamaktadır.

KAYNAKÇA

- Agüera-Vega F, Carvajal-Ramírez F & Martínez-Carricundo P (2017). Assessment of photogrammetric mapping accuracy based on variation ground control points number using unmanned aerial vehicle. *Measurement*, 98, 221-227.
- Corporation L (2018). Aerial imaging: how to achieve the correct ground resolution. *Lumenera Corporation White Paper Series*. Lumenera Corporation, Ottawa, pp. 1–6, 2018.
- Domingo D, Ørka HO, Næsset E, Kachamba D & Gobakken T. (2019). Effects of UAV Image Resolution, Camera Type, and Image Overlap on Accuracy of Biomass Predictions in a Tropical Woodland. *Remote Sensing*. 2019;11(8):948.
- Ferrer-González E, Agüera-Vega F, Carvajal-Ramírez F & Martínez-Carricundo P (2020). UAV Photogrammetry Accuracy Assessment for Corridor Mapping Based on the Number and Distribution of Ground Control Points. *Remote Sensing*, 12(15), 2447.
- Forlani G, Dall'Asta E, Diotri F, Cella U M D, Roncella R & Santise M (2018). Quality assessment of DSMs produced from UAV flights georeferenced with on-board RTK positioning. *Remote Sensing*, 10(2), 311.
- Gül Y (2019). Açık maden işletmelerinde insansız hava aracı (İHA) uygulamaları. *Türkiye Jeoloji Bülteni*, 62(1), 99-112.

- Hastaoglu K Ö, Gül Y, Poyraz F & Kara B C (2019). Monitoring 3D areal displacements by a new methodology and software using UAV photogrammetry. *International Journal of Applied Earth Observation and Geoinformation*, 83, 101916.
- Kapıcıoğlu H S, Hastaoglu K Ö, Poyraz F, Gül Y (2018). Investigation of topographic effect in ground control point selection in UAV photogrammetry: Gaziantep/Nizip. *International Conference On Innovative Engineering Applications - CIEA 2018*, 1174-1178.
- LaFay M (2015). Drones for dummies. *John Wiley & Sons*, 2015.
- Marre G, Holon F, Luqu, S, Boissery P & Deter J (2019). Monitoring marine habitats with photogrammetry: a cost-effective, accurate, precise and high-resolution reconstruction method. *Frontiers in Marine Science*, 6, 276.
- Mozas-Calvache A T, Pérez-García J L, Cardenal-Escarcena F J, Mata-Castro E & Delgado-García J (2012). Method for photogrammetric surveying of archaeological sites with light aerial platforms. *Journal of Archaeological Science*, 39(2), 521-530.
- Niethammer U, James M R, Rothmund S, Travelletti J & Joswig M (2012). UAV-based remote sensing of the Super-Sauze landslide: Evaluation and results. *Engineering Geology*, 128, 2-11.
- Okuyama S, Torii T, Nawa Y, Kinoshita I, Suzuki A, Shibuya M & Miyazaki N (2005, February). Development of a remote radiation monitoring system using unmanned helicopter. In *International Congress Series* (Vol. 1276, pp. 422-423). Elsevier.
- Ollero A & Merino L (2006). Unmanned aerial vehicles as tools for forest-fire fighting. *Forest Ecology and Management*, 234(1), S263.
- Oniga V E, Breaban A I, Pfeifer N & Chirila C (2020). Determining the suitable number of ground control points for UAS images georeferencing by varying number and spatial distribution. *Remote Sensing*, 12(5), 876.
- Rabah M, Basiouny M, Ghanem E & Elhadary A (2018). Using RTK and VRS in direct geo-referencing of the UAV imagery. *NRIAG Journal of Astronomy and Geophysics*, 7(2), 220-226.
- Ruzgienė B, Berteška T, Gečyte S, Jakubauskienė E & Aksamituskas V Č (2015). The surface modelling based on UAV Photogrammetry and qualitative estimation. *Measurement*, 73, 619-627.
- Sanz-Ablanedo E, Chandler J H, Rodríguez-Pérez J R & Ordóñez C (2018). Accuracy of unmanned aerial vehicle (UAV) and SfM photogrammetry survey as a function of the number and location of ground control points used. *Remote Sensing*, 10(10), 1606.
- Sarı F D (2017). Farklı Hava Şartlarında Drone Video Çekimi. <https://www.droneturk.com.tr/farkli-hava-sartlarda-drone-video-cekimi/>. [Accessed: 10-Feb-2019].
- Stöcker C, Nex F, Koeva M & Gerke M (2019). UAV-based cadastral mapping: an assessment of the impact of flight parameters and ground truth measurements on the absolute accuracy of derived orthoimages. *International Archives of the Photogrammetry, Remote Sensing & Spatial Information Sciences*.
- Toprak A S (2014). Fotogrametrik tekniklerin insansız hava araçları ile mühendislik projelerinde kullanılabilirliğinin araştırılması. *Selçuk Üniversitesi Fen Bilimleri Enstitüsü*, 2014.
- Xiang H, Tian L (2011). Development of a low-cost agricultural remote sensing system based on an autonomous unmanned aerial vehicle (UAV). *Biosyst Eng.*, 108(2), 174-190.



© Author(s) 2021. This work is distributed under <https://creativecommons.org/licenses/by-sa/4.0/>